

## A Evolução Temporal do Pacote de Onda

- Na aula passada escrevemos que um pacote de ondas unidimensional (uma única dimensão não é uma restrição relevante e facilita) é dado por:

$$\Psi(x, t) = \frac{1}{\sqrt{2\pi}} \int g(k) e^{i(k \cdot x - \omega t)} dk$$

Uma dada onda plana do pacote se propaga com velocidade  $v_\phi$ , conhecida por *velocidade de fase*, e obtida pela condição:

$$kx - \omega(k)t = \text{cte} \Rightarrow x = \frac{\text{cte}}{k} + \frac{\omega(k)}{k} t$$

$v_\phi \equiv$  velocidade de fase

Lembrando que:  $\omega = \frac{E}{\hbar} = \frac{\hbar^2 k^2}{\hbar 2m} = \frac{\hbar k^2}{2m} \Rightarrow v_\phi = \frac{\hbar k}{2m} = \frac{p}{2m} \rightarrow \frac{1}{2} v_{\text{clássica}}$

- Note que o pacote dispersa, pois ondas com diferentes valores de  $k$  tem diferentes velocidades  $v_\phi(k)$ .
- No caso de ondas eletromagnéticas no vácuo,  $v_\phi$  independe de  $k$  e todos os  $v_\phi$ 's são iguais à  $c$ , ou seja, todas as ondas que fazem parte do pacote se movem com mesma velocidade (e o pacote não muda de forma). Em um meio dispersivo, isto não seria verdade, pois  $v_\phi(k) = \frac{c}{n(k)}$ , onde  $n$  é o índice de refração.

Cada  $k$  tem uma velocidade  $\rightarrow$  pacote dispersa

Esta aula se encontra no site: <http://sites.ifi.unicamp.br/maplima/>

## Como medir a velocidade do pacote?

- Voltemos ao exemplo onde somamos apenas três ondas. Como  $\omega = \frac{\hbar k^2}{2m}$ , é possível supor que  $k_0 + \frac{\Delta k}{2} \rightarrow \omega_0 + \frac{\Delta \omega}{2}$ , e escrever o pacote na forma:

$$\begin{aligned}\Psi(x, t) &= \frac{g(k_0)}{\sqrt{2\pi}} \left\{ e^{i(k_0 x - \omega_0 t)} + \frac{1}{2} e^{i((k_0 + \frac{\Delta k}{2})x - (\omega_0 + \frac{\Delta \omega}{2})t)} + \frac{1}{2} e^{i((k_0 - \frac{\Delta k}{2})x - (\omega_0 - \frac{\Delta \omega}{2})t)} \right\} \\ &= \frac{g(k_0)}{\sqrt{2\pi}} e^{i(k_0 x - \omega_0 t)} \left\{ 1 + \frac{1}{2} e^{i(+\frac{\Delta k}{2} x - \frac{\Delta \omega}{2} t)} + \frac{1}{2} e^{i(-\frac{\Delta k}{2} x + \frac{\Delta \omega}{2} t)} \right\} \\ &= \frac{g(k_0)}{\sqrt{2\pi}} e^{i(k_0 x - \omega_0 t)} \left\{ 1 + \cos\left(\frac{\Delta k}{2} x - \frac{\Delta \omega}{2} t\right) \right\}\end{aligned}$$

tome variações infinitesimais

- Note que o máximo desta função (em  $x_m$ ) ocorre quanto o argumento do cosseno é nulo. O que permite concluir  $(\frac{\Delta k}{2} x_m - \frac{\Delta \omega}{2} t) = 0 \rightarrow x_m = \frac{\Delta \omega}{\Delta k} t \Rightarrow v_g = \frac{\Delta \omega}{\Delta k} = \frac{p}{m}$ .
- Note que não se trata da média (ponderada) das velocidades, que seria dada

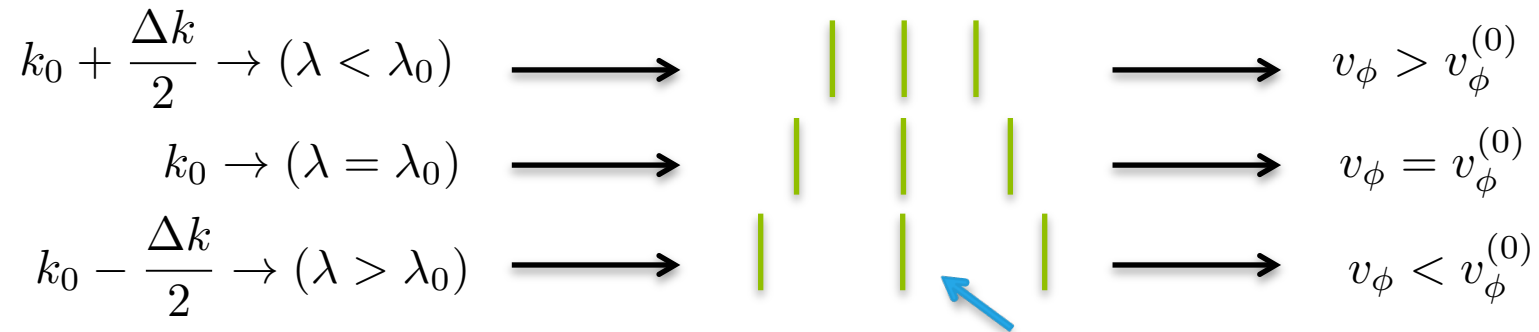
$$\begin{aligned}\text{por: } \bar{v}_\phi &= \left( \frac{\omega_0}{k_0} + \frac{1}{4} \left( \frac{\omega_0 + \Delta \omega/2}{k_0 + \Delta k/2} \right) + \frac{1}{4} \left( \frac{\omega_0 - \Delta \omega/2}{k_0 - \Delta k/2} \right) \right) / \left( \sqrt{1 + 1/4 + 1/4} \right)^2 = \\ &= \frac{\hbar}{2m} \left( k_0 + \frac{1}{4} (k_0 + \Delta k/2) + \frac{1}{4} (k_0 - \Delta k/2) \right) / \left( \sqrt{1 + 1/4 + 1/4} \right)^2 = \\ &= \frac{\hbar}{2m} k_0 = \frac{\omega_0}{k_0} = \frac{p}{2m} = \frac{v_g}{2}\end{aligned}$$

$v_g$  coincide com a velocidade clássica

$v_g \neq \bar{v}_\phi$ . A quantidade  $v_g$  é a chamada velocidade de grupo do pacote.

## Ainda sobre a velocidade do pacote com 3 ondas

- Origem física da diferença entre velocidade de fase e velocidade de grupo.



- Note que em  $t = 0$ , os 3 máximos coincidem em  $x = x_m = 0$ . As ondas têm diferentes velocidades. Quando vai haver a próxima coincidência?
- Uma vez que  $v_\phi$  aumenta com  $k$  (pois,  $v_\phi = \frac{\hbar k}{2m}$ ), o máximo à direita da onda  $k_0 + \frac{\Delta k}{2}$  alcançará o máximo da onda  $k_0$  que por sua vez, alcançará o máximo da onda  $k_0 - \frac{\Delta k}{2}$ . A coincidência será tripla novamente, pois as velocidades relativas ( $v_{\text{rel}} = \frac{\hbar \Delta k}{4m} = \frac{\omega_0 + \Delta\omega/2}{k_0 + \Delta k/2} - \frac{\omega_0}{k_0}$ ) são iguais.
- Considere  $\Delta t \equiv$  o tempo necessário para a nova coincidência. Ele pode ser calculado pela distância entre as frentes à direita da primeira coincidência, dividido pela velocidade relativa,  $\Delta t = \left( \frac{2\pi}{k_0} - \frac{2\pi}{k_0 + \frac{\Delta k}{2}} \right) \div v_{\text{rel}}$

## Ainda sobre a velocidade do pacote com 3 ondas

- A distância entre dois máximos pode ser escrita por

$$d = \begin{cases} \frac{2\pi}{k_0} + \frac{\omega}{k_0} \Delta t \\ \frac{2\pi}{k_0 + \Delta k/2} + \left( \frac{\omega + \Delta\omega/2}{k_0 + \Delta k/2} \right) \Delta t \\ \frac{2\pi}{k_0 - \Delta k/2} + \left( \frac{\omega - \Delta\omega/2}{k_0 - \Delta k/2} \right) \Delta t \end{cases} \Rightarrow \begin{cases} \text{use qualquer uma} \\ \text{das definições de } d \\ \text{para obter} \end{cases} \Rightarrow v_g = \frac{d}{\Delta t}$$

- Escolhendo a primeira expressão para  $d$ , podemos escrever a velocidade de

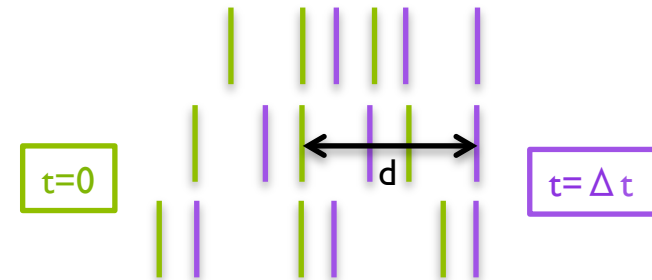
$$\text{grupo por } v_g = \frac{\frac{2\pi}{k_0} + \frac{\omega}{k_0} \Delta t}{\Delta t} = \frac{2\pi/k_0}{\Delta t} + \frac{\omega_0}{k_0}.$$

- Das definições de  $\Delta t$  e  $v_{\text{rel}}$  do slide anterior, escrevemos

$$\Delta t = 2\pi \frac{\Delta k/2}{k_0(k_0 + \Delta k/2)} \div \frac{k_0(\omega_0 + \Delta\omega/2) - \omega_0(k_0 + \Delta k/2)}{k_0(k_0 + \Delta k/2)} = 2\pi \frac{\Delta k/2}{k_0 \Delta\omega/2 - \omega_0 \Delta k/2},$$

$$\text{podemos escrever } v_g = \frac{k_0 \Delta\omega/2 - \omega_0 \Delta k/2}{k_0 \Delta k/2} + \frac{\omega_0}{k_0} = \frac{\Delta\omega}{\Delta k}, \text{ conforme slide 2.}$$

- No limite infinitesimal, isso corresponde à  $v_g = \frac{d\omega}{dk} = \frac{d}{dk} \frac{\hbar k^2}{2m} = \frac{\hbar k}{m}$ .



## A velocidade de grupo segundo a condição estacionária

- Para aplicar a condição estacionária no pacote, tome

$$\Psi(x, t) = \frac{1}{\sqrt{2\pi}} \int g(k) e^{i(kx - \omega t)} dk \text{ e escreva } g(k) \text{ na forma}$$

$$g(k) = |g(k)| e^{i\alpha(k)} \Rightarrow \text{isso vale para } \forall \text{ número complexo.}$$

Isso permite re-escrever o pacote na forma:

$$\Psi(x, t) = \frac{1}{\sqrt{2\pi}} \int |g(k)| e^{i(\alpha(k) + kx - \omega t)} dk$$

- A condição estacionária é obtida fazendo a primeira derivada da fase (argumento complexo da exponencial) com respeito à  $k$  igual a zero em  $k_0$ , centro de  $|g(k)|$ . Conforme já argumentamos, isso equivale a pedir que a primeira contribuição diferente de zero seja quadrática em  $k - k_0$ , o que faz ela contribuir com o mesmo sinal antes e depois de  $k_0$ .
- Assim, a condição estacionária é  $\frac{d}{dk} (\alpha(k) + kx - \omega t)|_{k=k_0} = 0$  e isso implica

$$\text{em: } \frac{d}{dk} \alpha(k)|_{k=k_0} + x_m - \left( \frac{d}{dk} \omega(k)|_{k=k_0} \right) t = 0 \Rightarrow \text{solução clássica de um ponto}$$

$$x_m \text{ que realiza movimento uniforme na direção } x, \text{ com } \begin{cases} x_m(0) = -\frac{d\alpha}{dk}|_{k=k_0} \\ v_g = \frac{d\omega}{dk}|_{k=k_0}. \end{cases}$$

$x_m(t)$  é o centro do pacote que viaja com velocidade de grupo  $v_g$

## Partícula em um potencial escalar independente do tempo

- Isto é, a partícula está em um ambiente onde  $V(\vec{r}, t) = V(\vec{r})$ .
- Sabemos que ondas associadas à partícula respeitam as relações de de Broglie:

$$\lambda = \frac{2\pi}{k} = \frac{2\pi}{p/\hbar} = \frac{2\pi\hbar}{p} = \frac{h}{p}$$

- O texto diz: *Se  $\lambda$  for muito menor que os comprimentos típicos do movimento da partícula, o movimento é clássico.* Vamos explorar esse tema.
  - Efeitos quânticos aparecem quando potencial  $V(\vec{r}, t)$  varia apreciavelmente em um comprimento de onda. Isso é o mesmo que pedir que diferentes pedaços de um pacote de onda possam sentir diferentes trechos do potencial e a interferência em possíveis encontros dessas partes da onda pode gerar efeitos quânticos mensuráveis.
  - Com isso em mente, estudar potenciais tipo caixa é importante, pois são descontínuos (variam com certeza dentro de um comprimento de onda) e sempre produzem efeitos quânticos.
  - Uma questão importante: como decidir se um sistema é quântico? Quando usar a equação de Schrödinger em detrimento da de Newton? Afinal de contas sabemos que a equação de Newton funciona muito bem para sistemas macroscópicos e de baixas velocidade ( $v \ll c$ ).

*Início de uma discussão que estará presente em várias aulas!*

## Partícula em um potencial escalar independente do tempo

- Separação de variáveis da equação de Schrödinger e estados estacionários.

$$i\hbar \frac{\partial}{\partial t} \Psi(\vec{r}, t) = -\frac{\hbar^2}{2m} \Delta \Psi(\vec{r}, t) + V(\vec{r})\Psi(\vec{r}, t)$$

O que são estados estacionários?

- Para obtê-los, suponha que seja possível escrever:  $\Psi(\vec{r}, t) = \varphi(\vec{r})\chi(t)$ .
- Hipótese razoável, considerando que os operadores  $\frac{\partial}{\partial t}$ ,  $\Delta$ , e  $V(\vec{r})$  dependem apenas de uma das variáveis  $\vec{r}$  ou  $t$ , indicando um desacoplamento entre elas.
- Insira essa forma na equação acima, para obter

$$i\hbar \varphi(\vec{r}) \frac{\partial}{\partial t} \chi(t) = -\frac{\hbar^2}{2m} \chi(t) \Delta \varphi(\vec{r}) + V(\vec{r})\varphi(\vec{r})\chi(t)$$

e divida essa expressão por  $\varphi(\vec{r})\chi(t)$

$$\underbrace{i\hbar \frac{1}{\chi(t)} \frac{\partial}{\partial t} \chi(t)}_{\text{dependência só em } t} = \underbrace{-\frac{\hbar^2}{2m} \frac{1}{\varphi(\vec{r})} \Delta \varphi(\vec{r}) + V(\vec{r})}_{\text{dependência só em } \vec{r}}$$

- Como  $\vec{r}$  e  $t$  são variáveis independentes, essa equação só será satisfeita se os dois lados forem iguais à uma constante, escolhida  $\hbar\omega$ .

## Partícula em um potencial escalar independente do tempo

- *Continuação: Separação de variáveis ... e estados estacionários.*

- Do lado esquerdo, obtemos:

$$i\hbar \frac{1}{\chi(t)} \frac{\partial}{\partial t} \chi(t) = \hbar\omega \Rightarrow \frac{\partial}{\partial t} \chi(t) = -i\omega \chi(t) \therefore \chi(t) = A e^{-i\omega t}$$

Note que podemos ignorar  $A$  e deixar a normalização para  $\varphi(\vec{r})$ .

- Do lado direito, obtemos:

$$-\frac{\hbar^2}{2m} \frac{1}{\varphi(\vec{r})} \Delta \varphi(\vec{r}) + V(\vec{r}) = \hbar\omega \Rightarrow -\frac{\hbar^2}{2m} \Delta \varphi(\vec{r}) + V(\vec{r})\varphi(\vec{r}) = \hbar\omega\varphi(\vec{r})$$

- Desta forma, a solução estacionária da Equação de Schrödinger fica dada por  $\Psi(\vec{r}, t) = \varphi(\vec{r})e^{-i\omega t}$ .

- Note que em uma função estacionária, só aparece uma frequência angular e, portanto, uma energia  $E = \hbar\omega$  bem definida.

- Note que  $|\Psi(\vec{r}, t)|^2 = |\varphi(\vec{r})|^2 \Rightarrow \begin{cases} \text{probabilidade independente do tempo,} \\ \text{o que justifica o termo "estado estacionário"} \end{cases}$

- A equação de autovalor de Schrödinger:  $H\varphi(\vec{r}) = E\varphi(\vec{r})$

$$\text{com } \begin{cases} H = -\frac{\hbar^2}{2m} \Delta + V(\vec{r}) \Rightarrow \text{operador linear } H(\lambda_1\varphi_1 + \lambda_2\varphi_2) = \lambda_1 H\varphi_1 + \lambda_2 H\varphi_2; \\ \varphi \equiv \text{auto-função;} \\ E \equiv \text{auto-valor} \Rightarrow \text{quantiza se } \varphi \rightarrow \text{quadraticamente integrável.} \end{cases}$$



## Superposição de Ondas Estacionárias

- Suponha que as soluções de  $H\varphi_n(\vec{r}) = E_n\varphi_n(\vec{r})$  sejam conhecidas.

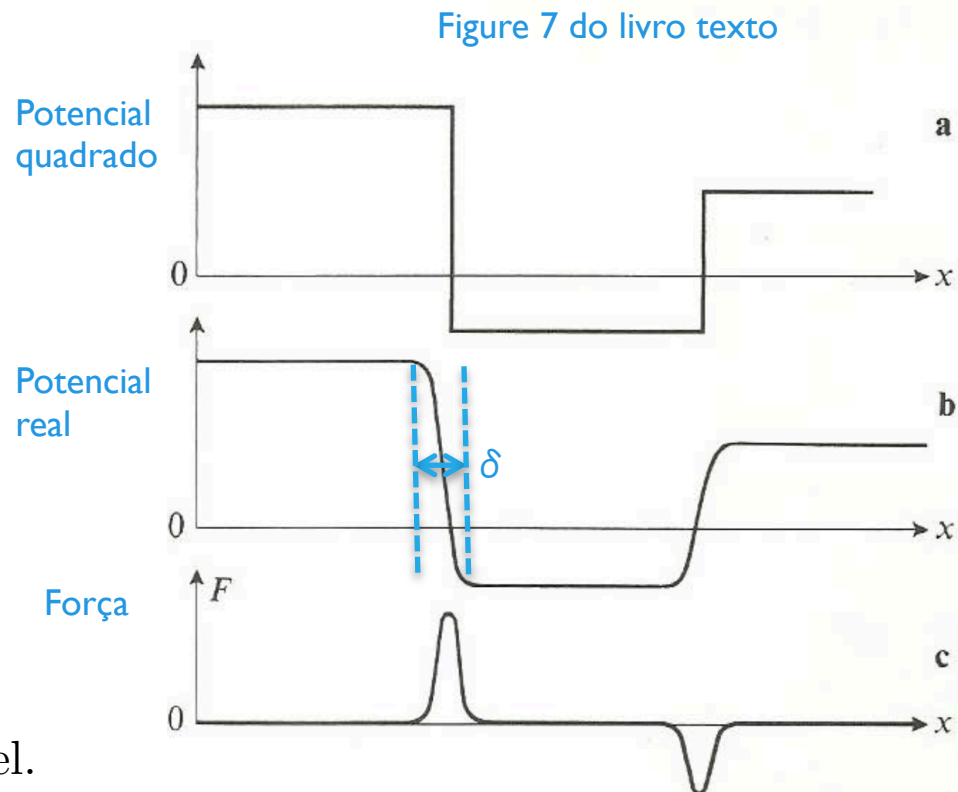
Vimos que

$$\left\{ \begin{array}{l} (1) \Psi_n(\vec{r}, t) = \varphi_n(\vec{r})e^{-iE_nt/\hbar} \text{ é solução da Eq. de Schrödinger} \\ \text{dependente do tempo.} \\ (2) \Psi(\vec{r}, t) = \sum_n c_n \Psi_n(\vec{r}, t) = \sum_n c_n \varphi_n(\vec{r})e^{-iE_nt/\hbar} \text{ também é} \\ \text{solução, pois a equação é linear.} \end{array} \right.$$

- Note que  $c_n$  são constantes arbitrárias e podem ser complexas.
- Note que  $\Psi(\vec{r}, 0) = \sum_n c_n \varphi_n(\vec{r})$ , e que a condição inicial (supostamente conhecida) de  $\Psi(\vec{r}, t)$  no instante  $t = 0$  determina  $\{c_n\}$ .
- Note que  $\Phi(\vec{r}) = \sum_m c_m \varphi_m(\vec{r})$  não é solução de  $H\Phi(\vec{r}) = E\Phi(\vec{r})$  se para diferentes valores de  $m$ ,  $E_m \neq E$ . De fato, basta que os  $E_m$  sejam distintos para  $m$  distintos para que  $\Phi(\vec{r})$  não seja solução da equação de Schrödinger independente do tempo. *Verifique isso, substituindo  $\Phi(\vec{r})$  na equação.*
- Um pacote construído com soluções estacionárias é solução da equação de Schrödinger dependente do tempo. O pacote estudado de ondas planas é só um caso particular!

## Potencial *quadrado* unidimensional. Um estudo qualitativo.

- Suponha  $\lambda = \frac{h}{p}$ , o comprimento de onda de de Broglie.
- A troca da Fig. b pela Fig. a é razoável, se  $\delta \ll \lambda$ .
- Se aumentar a energia  $E = \frac{\hbar^2 k^2}{2m}$ , com  $k = \frac{2\pi}{\lambda} \Rightarrow \lambda$  diminui e a troca deixa de ser razoável.
- No potencial da Fig. a, onde  $\delta = 0$ , o potencial vai variar, dentro de um comprimento de onda, para qualquer que seja a energia. *Efeitos quânticos estarão sempre presentes.* Para o potencial da Fig. b, isso pode não ocorrer para altas energias. Exploraremos esse assunto com mais cuidado nas próximas aulas.



Potencial quadrado da Fig. a que representa o potencial real da Fig. b, o qual produz uma força dada pela Fig. c.

## Potencial *quadrado* unidimensional. Um estudo qualitativo.

- Comportamento de  $\varphi(x)$  na região de descontinuidade do potencial (ver figura do slide anterior).

Em geral, para o potencial quadrado,  $\varphi(x)$  e  $\frac{d\varphi}{dx}(x)$  são contínuos e somente a segunda derivada é descontínua em  $x_1$  (posição da descontinuidade do potencial). Isso porque a equação de Schrödinger precisa ser satisfeita em todos os pontos e a descontinuidade do potencial deve ser compensada pela descontinuidade da derivada segunda de  $\varphi(x)$ . Isto é:

$$\underbrace{-\frac{\hbar^2}{2m} \frac{d^2\varphi}{dx^2}(x)}_{\text{descontínuas em } x_1} + \underbrace{V(x)\varphi(x)}_{\text{contínua em } x_1} = \underbrace{E\varphi(x)}_{\text{contínua em } x_1}$$

Para que  $\frac{d^2\varphi}{dx^2}(x)$  seja descontínua em  $x_1$ , é preciso que  $\frac{d\varphi}{dx}(x)$  seja contínua, embora “bicuda” (derivada descontínua). Note que esse argumento não vale para  $V(x) \propto \delta(x - x_1)$ . Neste caso,  $\frac{d\varphi}{dx}(x)$  precisa ser descontínua para se obter um infinito na derivada segunda e compensar o infinito do potencial em  $x_1$ .

- Analise se  $\frac{d\varphi}{dx}(x_1 + \eta) - \frac{d\varphi}{dx}(x_1 - \eta) = \frac{2m}{\hbar^2} \int_{x_1 - \eta}^{x_1 + \eta} [V(x) - E]\varphi(x)dx = 0$ .

## Analogia com a ótica

- Considere os estados estacionários em um potencial quadrado unidimensional

$$-\frac{\hbar^2}{2m} \frac{d^2\varphi}{dx^2}(x) + V(x)\varphi(x) = E\varphi(x)$$

ou ainda

$$\left[ \frac{d^2}{dx^2} + \frac{2m}{\hbar^2}(E - V(x)) \right] \varphi(x) = 0$$

- A idéia é comparar esta equação com a equação de onda (obtida das equações de Maxwell na ausência de cargas e correntes):

$$\left[ \frac{d^2}{dx^2} + \frac{n^2\Omega^2}{c^2} \right] E(x) = 0 \text{ com } \begin{cases} \vec{E}(\vec{r}, t) = \vec{e}E(x)e^{-i\Omega t} \rightarrow \begin{cases} \text{embora na direção } \vec{e} \\ \text{propaga na direção } \hat{x} \end{cases} \\ \vec{e} \cdot \hat{x} = 0 \rightarrow \text{são ortogonais} \\ n(\vec{r}, t) = n = \text{cte} \rightarrow \text{meio transparente} \end{cases}$$

- Nossa analogia leva à  $\frac{2m}{\hbar^2}(E - V(x)) = \frac{n^2\Omega^2}{c^2}$  onde as funções  $\varphi(x)$  e  $E(x)$  precisam satisfazer as mesmas condições de continuidade nas discontinuidades do potencial.

$$n(\Omega) = \frac{1}{\hbar\Omega} \sqrt{2mc^2(E - V)} \begin{cases} \text{relação entre os parâmetros} \\ \text{óticos e mecânicos.} \end{cases}$$

## Analogia ótica: barreiras e poços de potencial

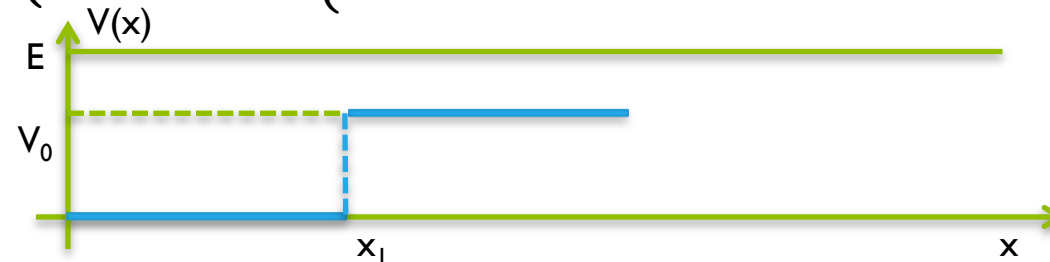
- Soluções de

$$\left[ \frac{d^2}{dx^2} + \frac{n^2 \Omega^2}{c^2} \right] E(x) = 0 \text{ com } n(\Omega) = \frac{1}{\hbar \Omega} \sqrt{2mc^2(E - V)}$$

- Observe que

$$\left\{ \begin{array}{l} \text{para } E > V \left\{ \begin{array}{l} \text{meio transparente, pois } n(\Omega) \text{ é real} \\ n^2 > 0 \Rightarrow \text{soluções do tipo } e^{\pm ikx} \end{array} \right. \\ \text{para } E < V \left\{ \begin{array}{l} \text{meio opaco, pois } n(\Omega) \text{ é imaginário puro} \\ n^2 < 0 \Rightarrow \text{soluções do tipo } e^{\pm \rho x} \end{array} \right. \end{array} \right.$$

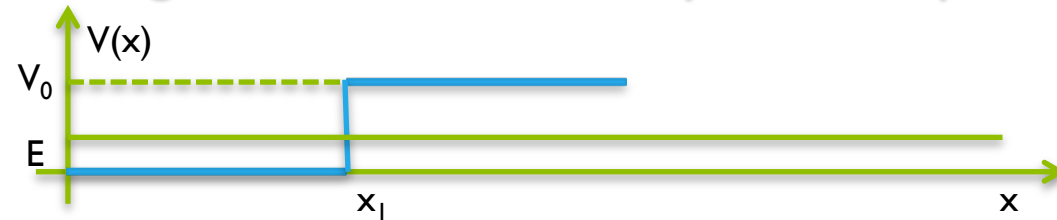
- Exemplo 1:



Se  $E > V_0$

- 1) Na **Mecânica Clássica**: uma partícula encontra esse potencial e continua com menor velocidade.
- 2) Na **Ótica**: a onda se propaga em um meio cujo índice de refração é  $n_1 = \frac{c}{\hbar \Omega} \sqrt{2mE}$ , encontra em  $x_1$  uma descontinuidade, com  $n_2 = \frac{c}{\hbar \Omega} \sqrt{2m(E - V)}$  e se divide em duas ondas: uma transmitida e outra refletida.
- 3) Na **Mecânica Quântica**: probabilidade  $P$  de ser refletida e de  $1 - P$  de passar.

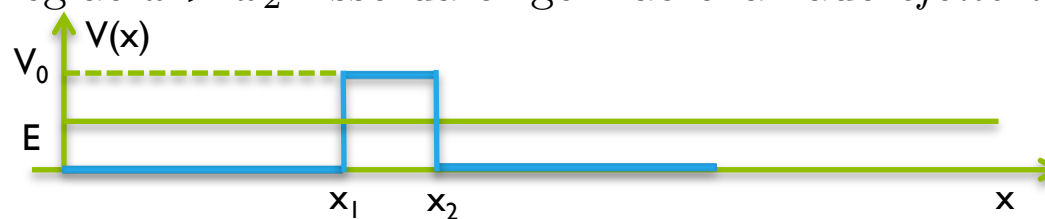
## Analogia ótica: barreiras e poços de potencial



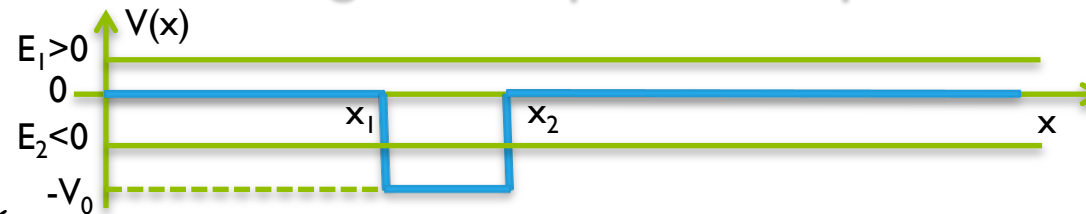
- Se  $E < V_0$  {
- 1) Na **Mecânica Clássica**: uma partícula encontra esse potencial e bate e volta com a mesma velocidade.
  - 2) Na **Ótica**: a onda se propaga em um meio cujo índice de refração é  $n_1 = \frac{c}{\hbar\Omega} \sqrt{2mE}$ , encontra em  $x_1$  uma descontinuidade, com  $n_2 = \frac{c}{\hbar\Omega} \sqrt{2m(E - V)}$ , um número imaginário puro, e se divide em duas ondas: uma desaparece exponencialmente e outra é refletida.
  - 3) Na **Mecânica Quântica**: a partícula também volta, no entanto admite-se uma probabilidade diferente de zero de encontrar a partícula em  $x > x_1$ .

- Esse último aspecto se torna mais interessante no caso da figura abaixo.

Para  $x > x_1$ , temos  $e^{-\rho x}$ . Se  $|x_2 - x_1|$  não for  $\gg \frac{1}{\rho} \Rightarrow$  parte da onda passa para a região  $x > x_2$ . Isso dá origem ao chamado *efeito túnel*.



## Analogia ótica: potencial quadrado



- $-V_0 < E_2 < 0$
- 1) Na **Mecânica Clássica**: uma partícula oscila entre  $x_1$  e  $x_2$  com energia cinética  $E_k = E_2 + V_0$
  - 2) Na **Ótica** :
 
$$\begin{cases} x < x_1 \Rightarrow n_1 = \text{imaginário puro} \\ x < x_2 \Rightarrow n_3 = \text{imaginário puro} \\ x_1 < x < x_2 \Rightarrow n_2 = \text{real} \end{cases}$$
 onda oscila nesta última região (com certos modos vibracionais - modos normais). De outra forma as ondas incidentes e refletidas interferem destrutivamente e desaparecem.
  - 3) Na **Mecânica Quântica**: só algumas energias são permitidas. Origem do termo *quantização da energia*.

$$E_1 > 0 \Rightarrow n_1, n_2 \text{ e } n_3 \text{ são reais } \begin{cases} n_1 = n_3 = \frac{c}{\hbar\Omega} \sqrt{2mE_1} \\ n_2 = \frac{c}{\hbar\Omega} \sqrt{2m(E_1 + V_0)} \end{cases}$$

Para se obter as ondas refletidas  $x < x_1$  ou transmitidas  $x > x_2$ , é necessário sobrepor infinitas ondas que surgem de reflexões entre  $x_1$  e  $x_2$ .

*Existem ressonâncias onde  $T = 1$  e  $R = 0$ .*